

Fig. 6a



Fig. 6b

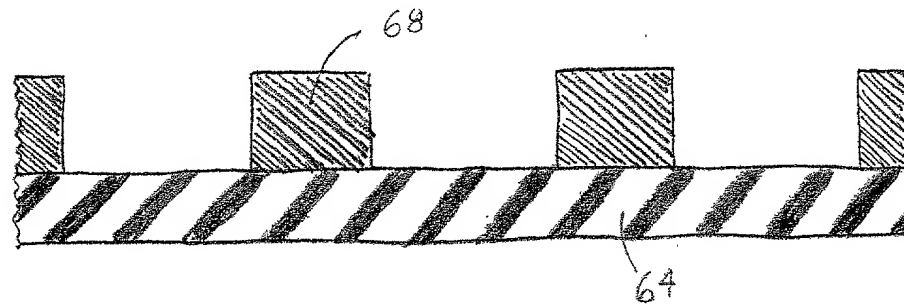


Fig. 6c

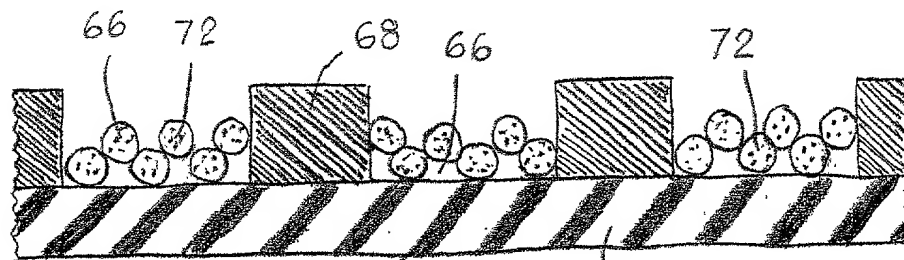


Fig. 6d

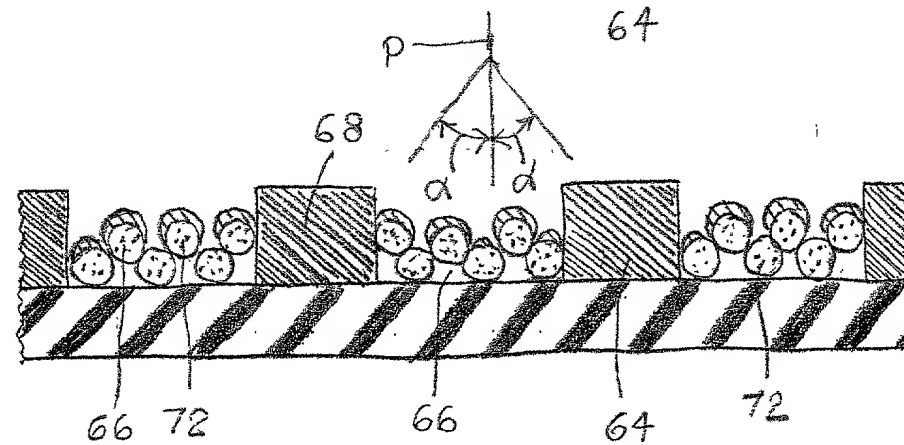
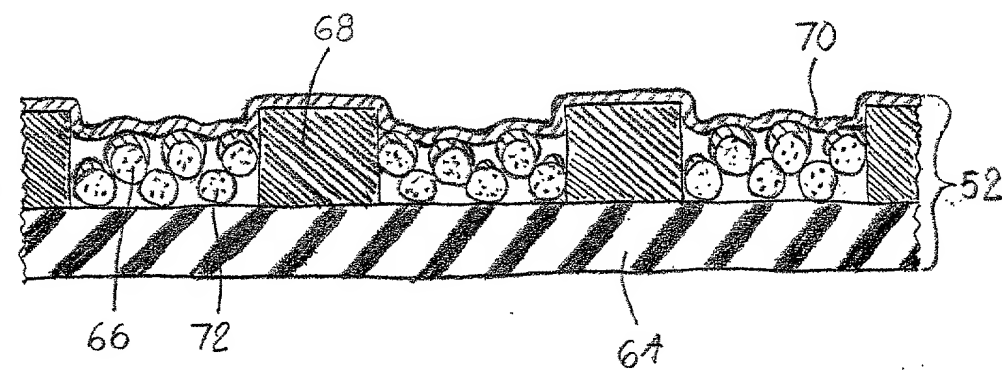


Fig. 6e



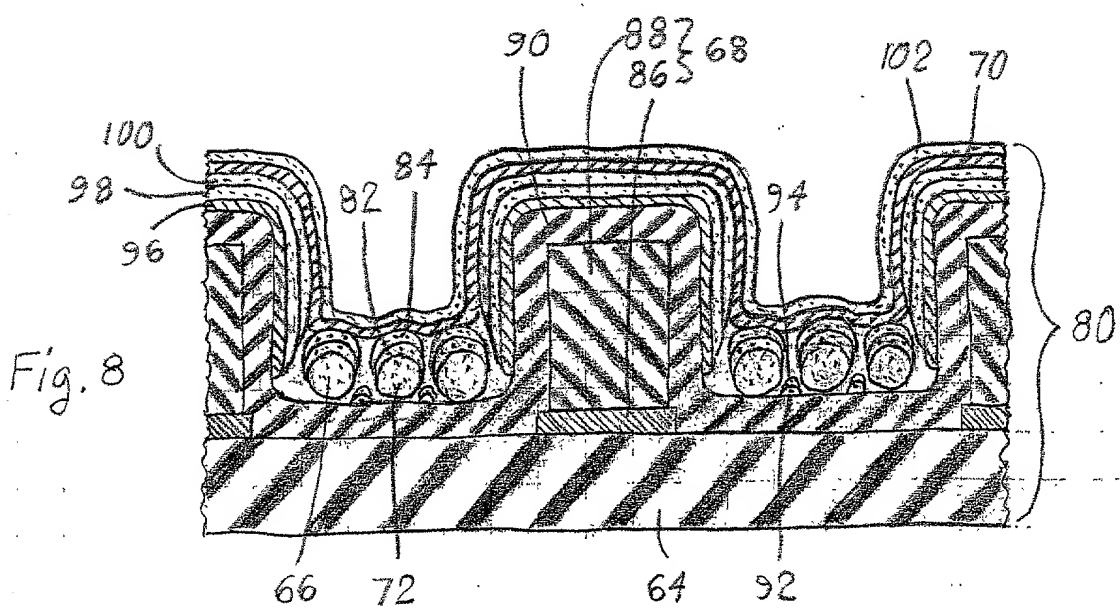
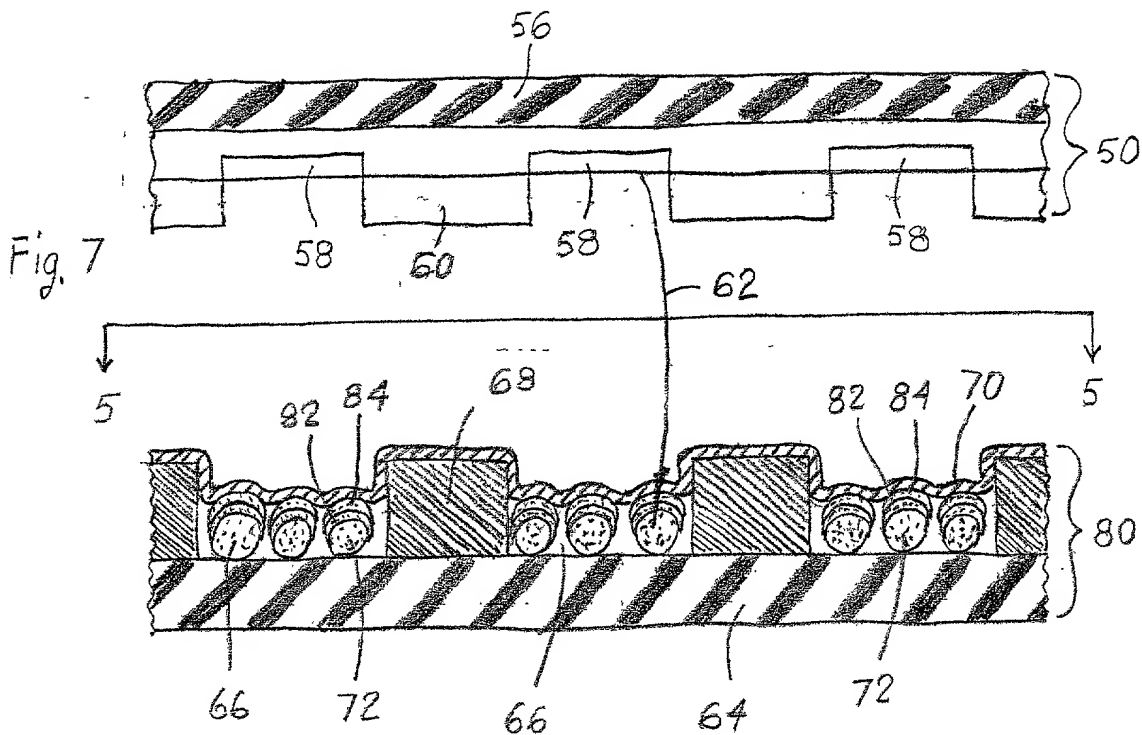


Fig. 9a

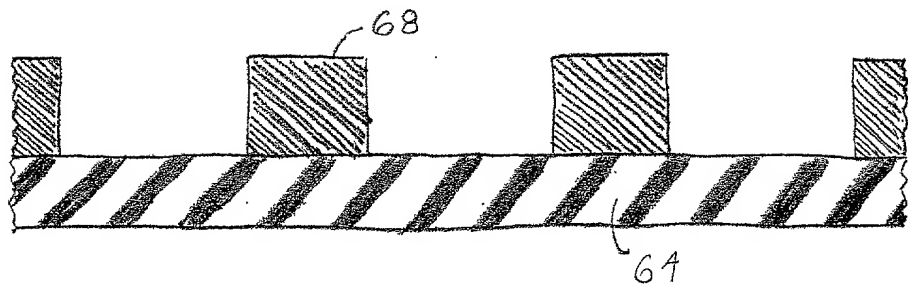


Fig. 9b

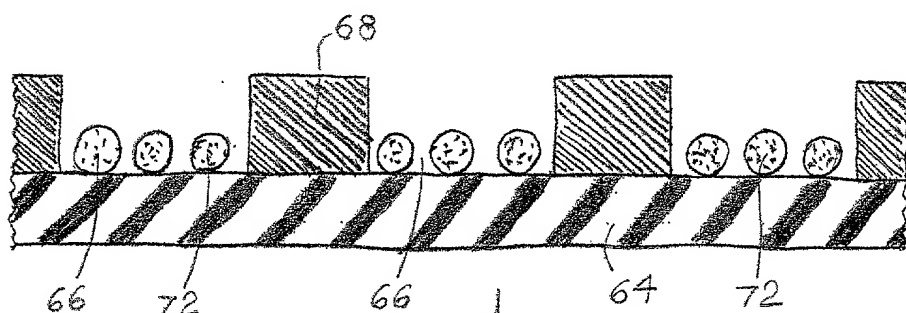


Fig. 9c

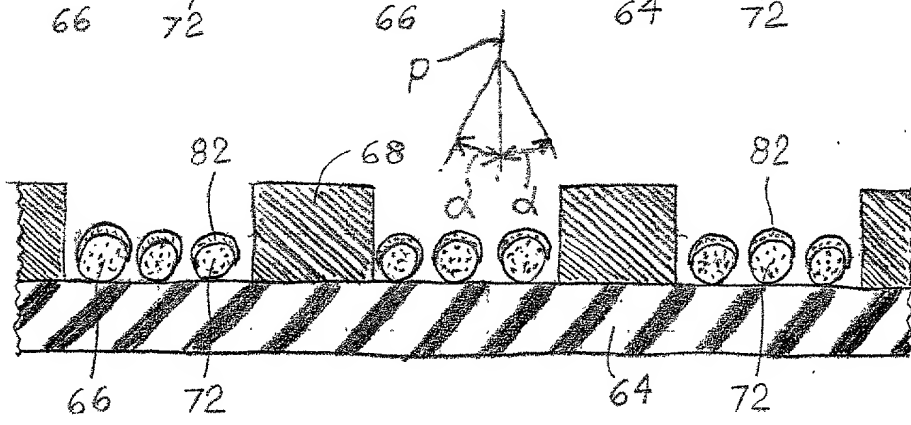


Fig. 9d

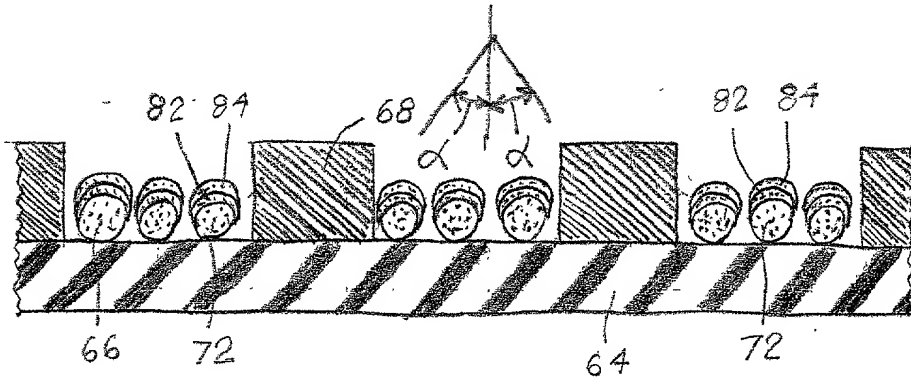
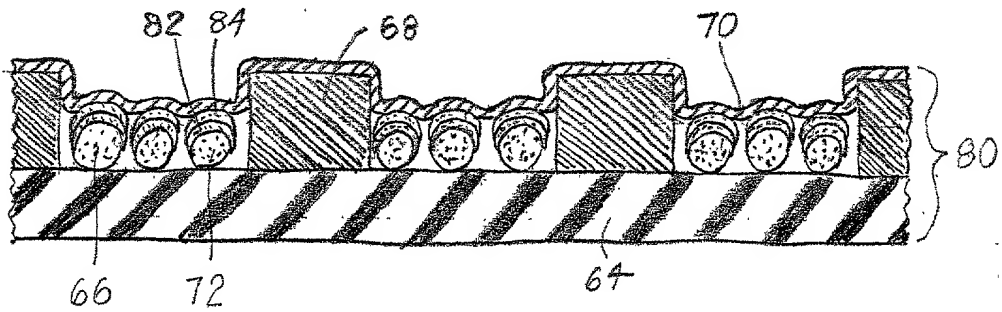


Fig. 9e



6/14

CT-F139

Fig. 10a

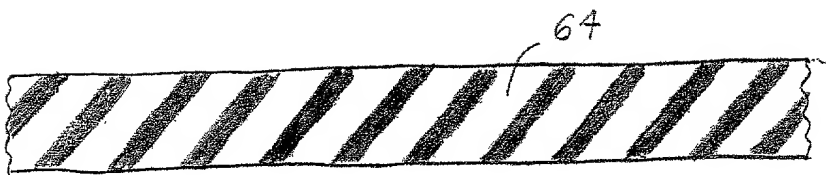


Fig. 10b

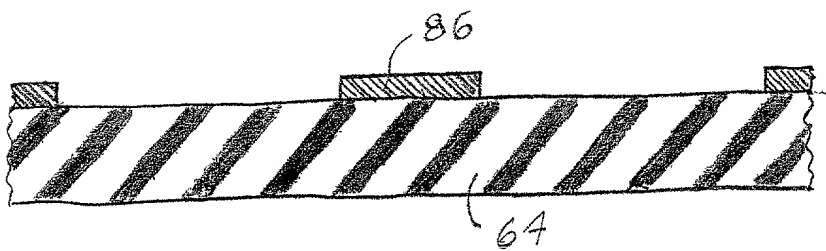


Fig. 10c

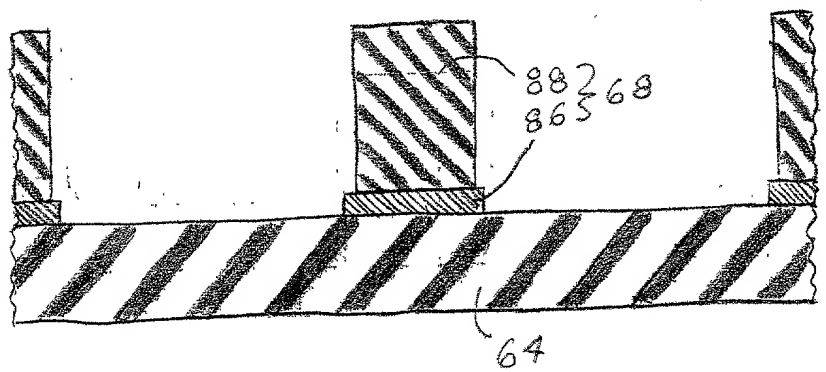
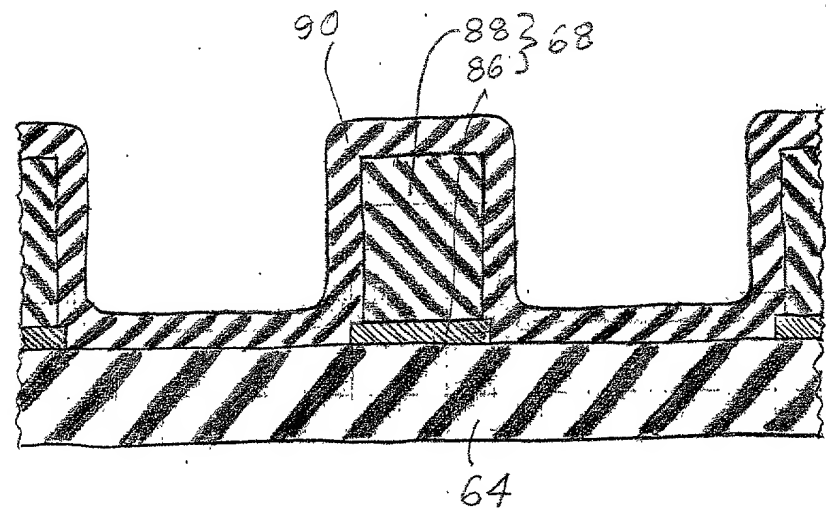


Fig. 10d



7/14

CT-F139

Fig. 10e

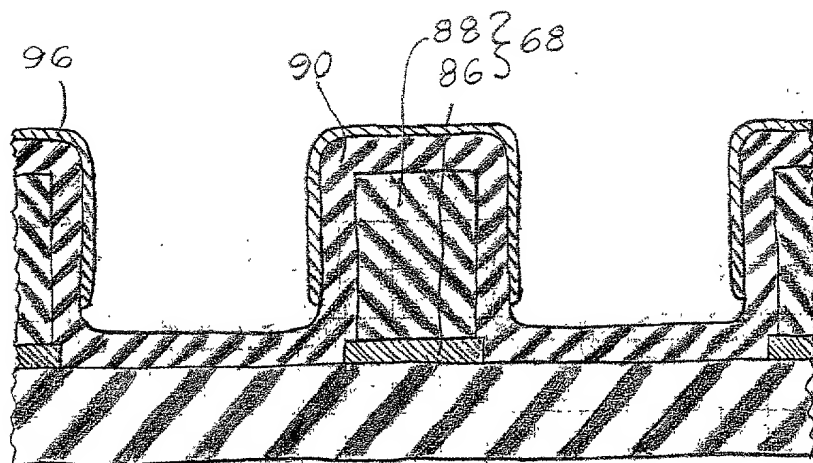


Fig. 10f

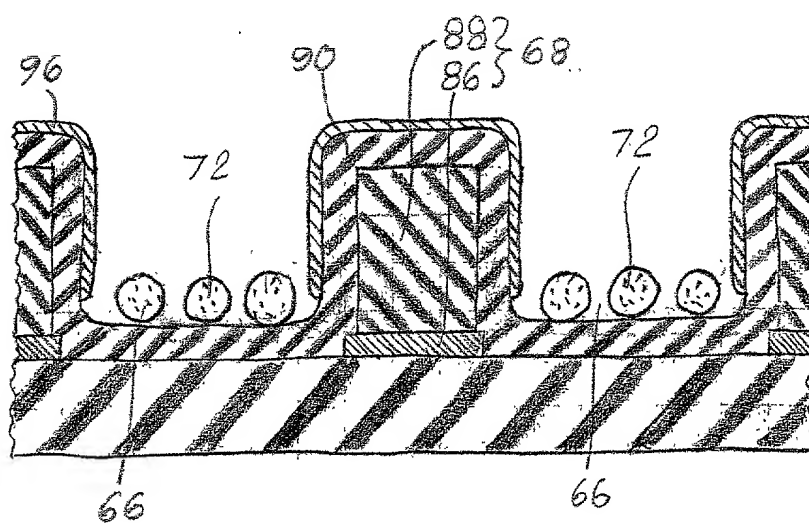
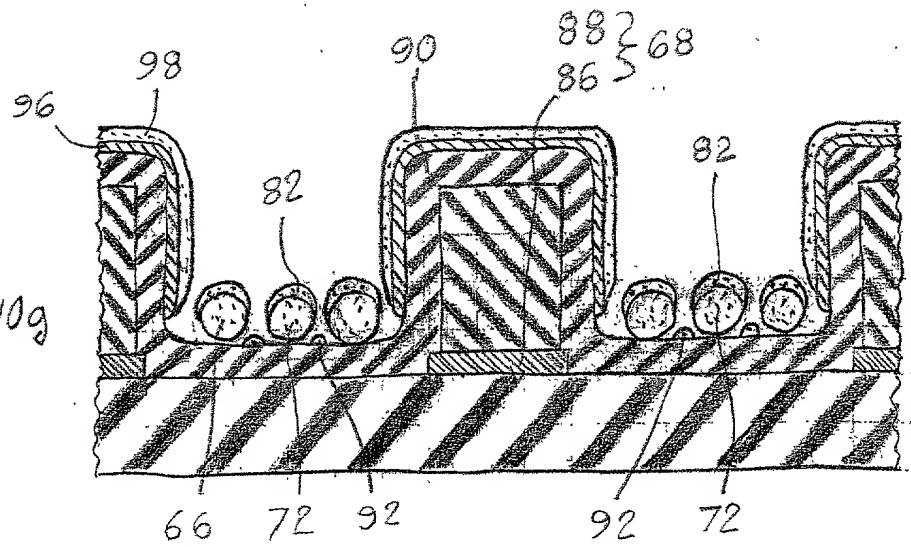
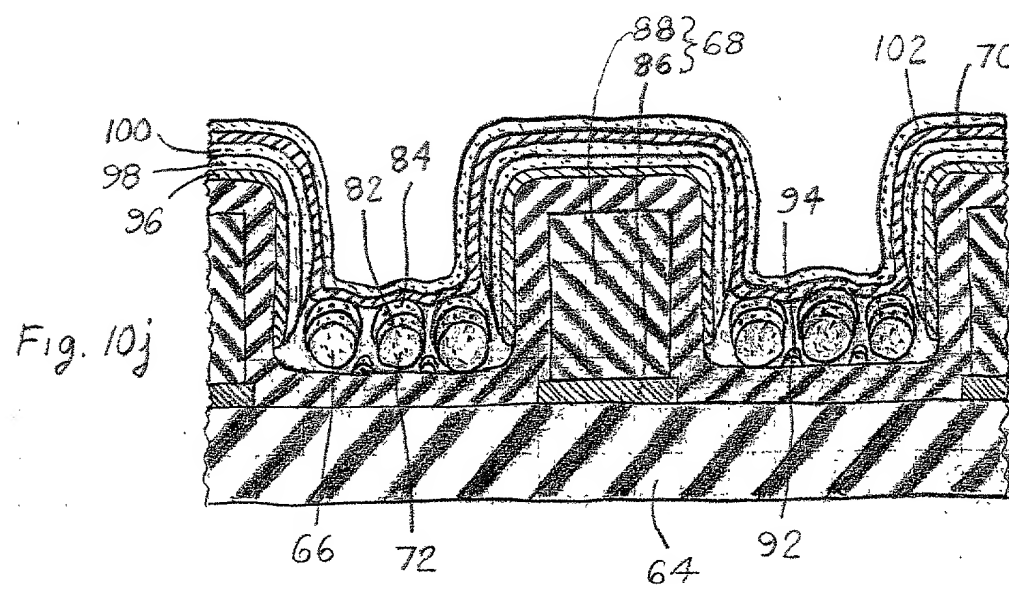
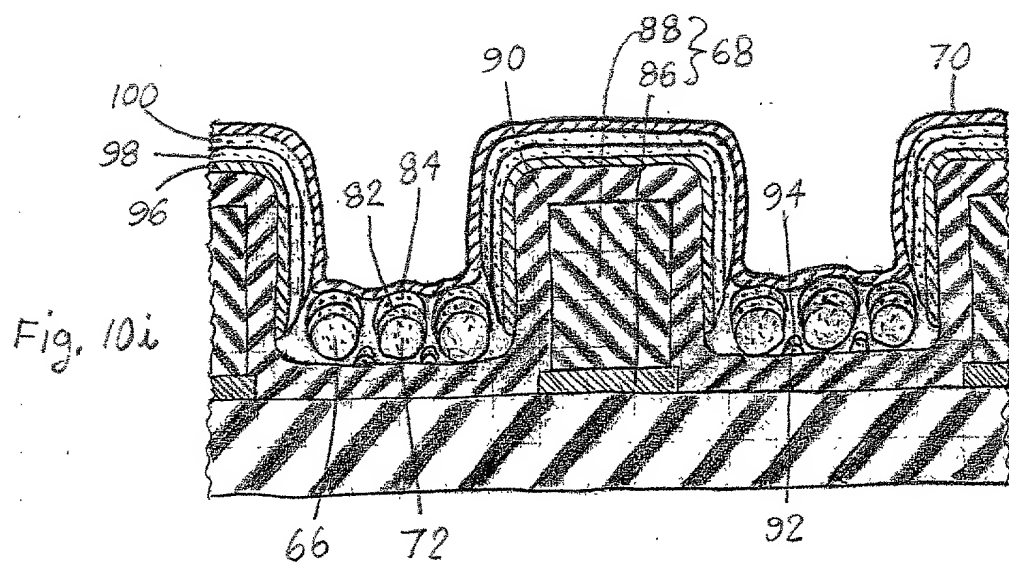
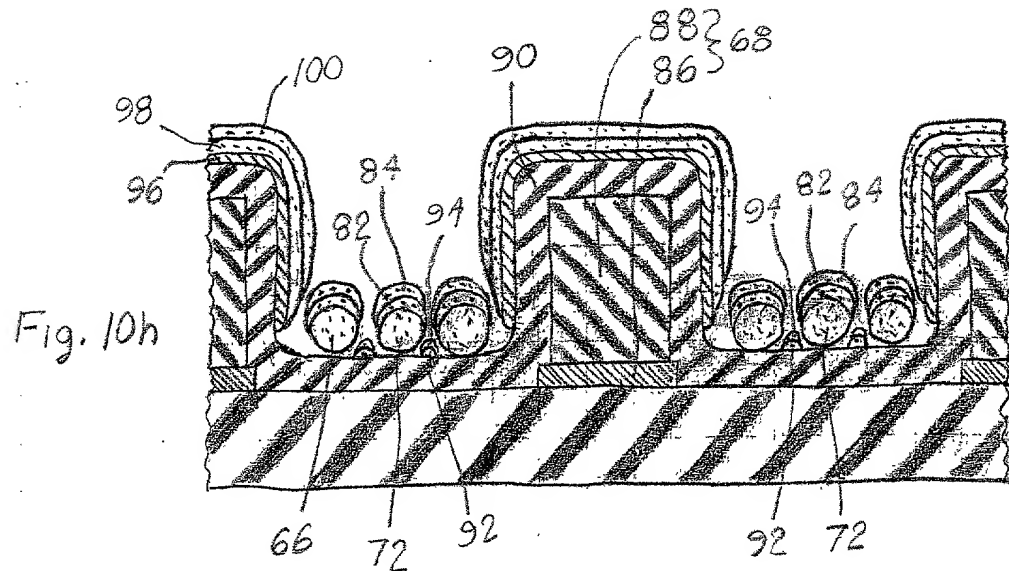
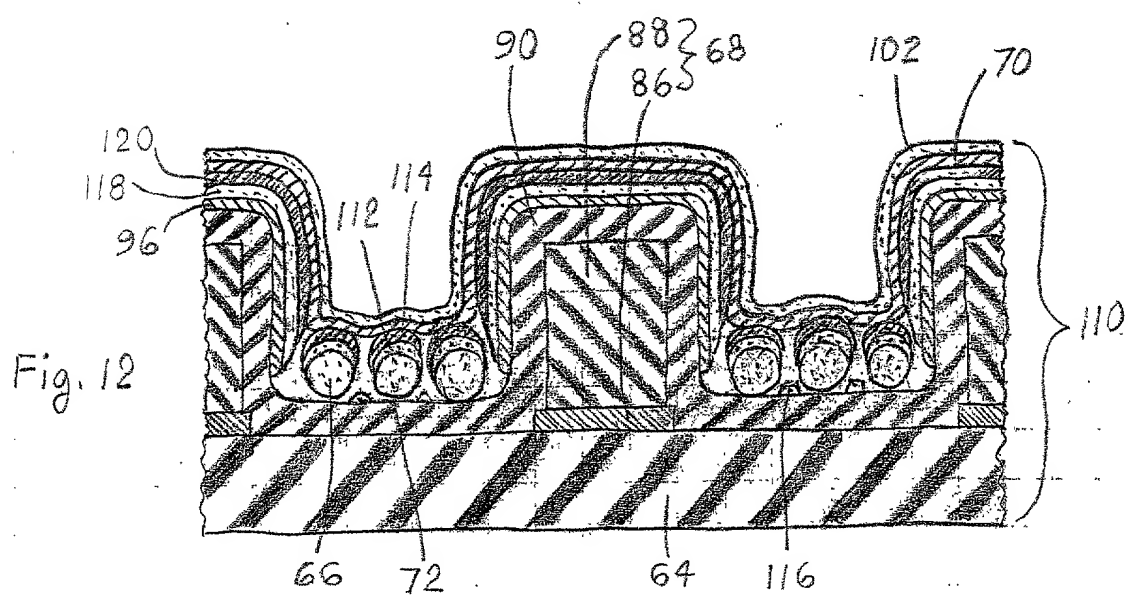
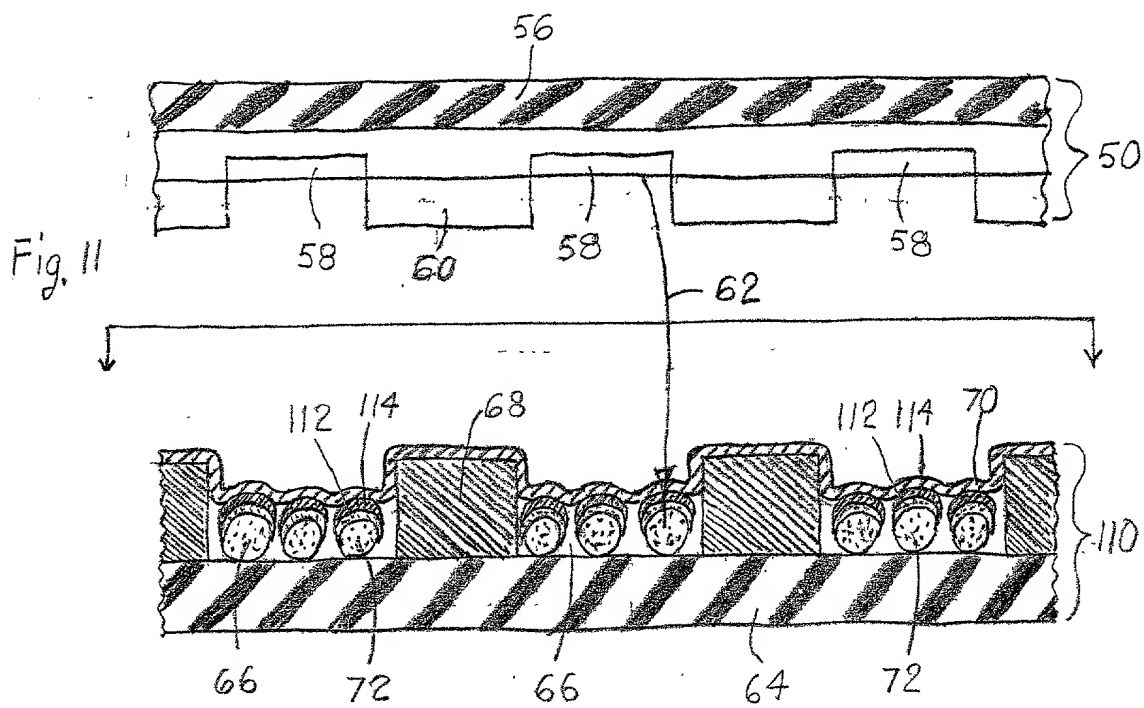


Fig. 10g







10/14

CT-F139

Fig. 13a

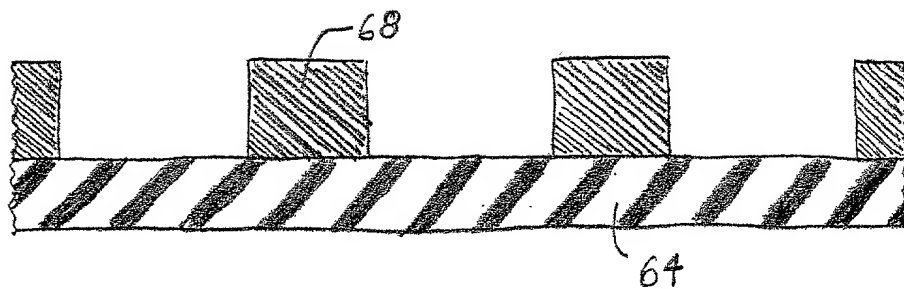


Fig. 13b

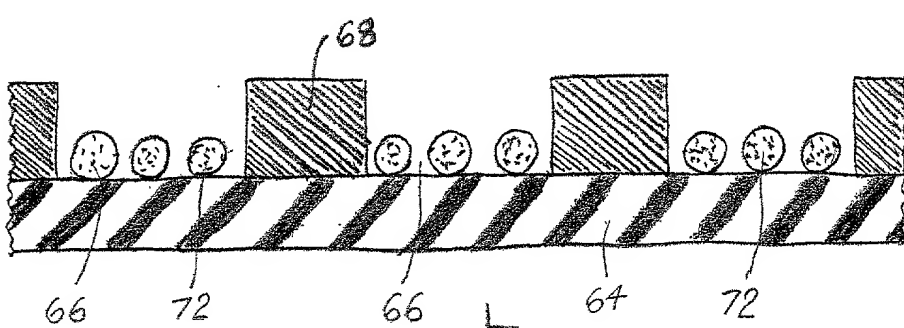


Fig. 13c

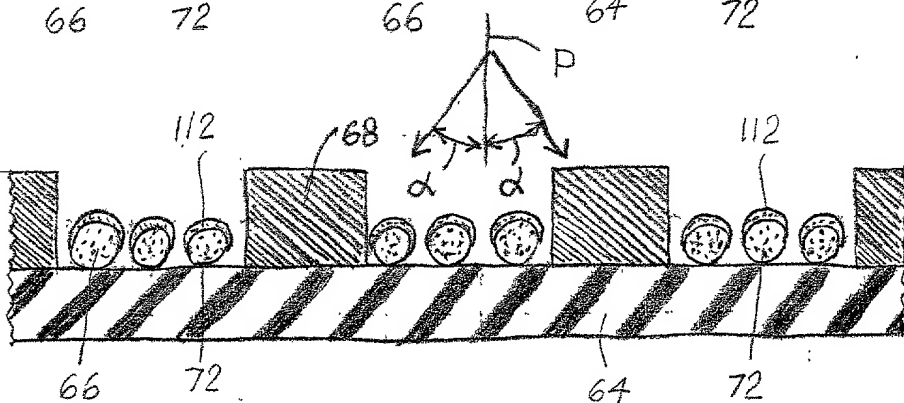


Fig. 13d

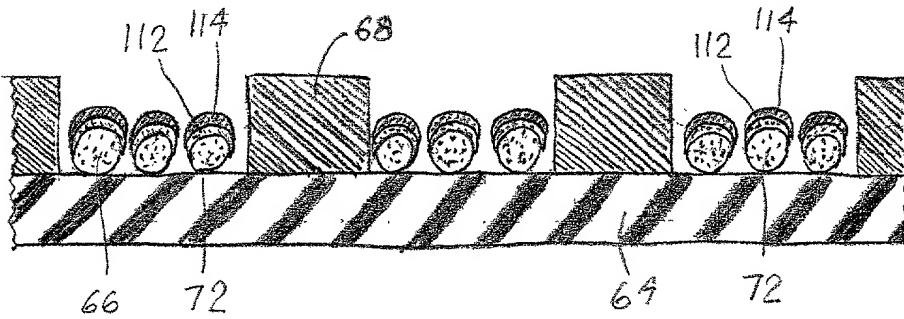
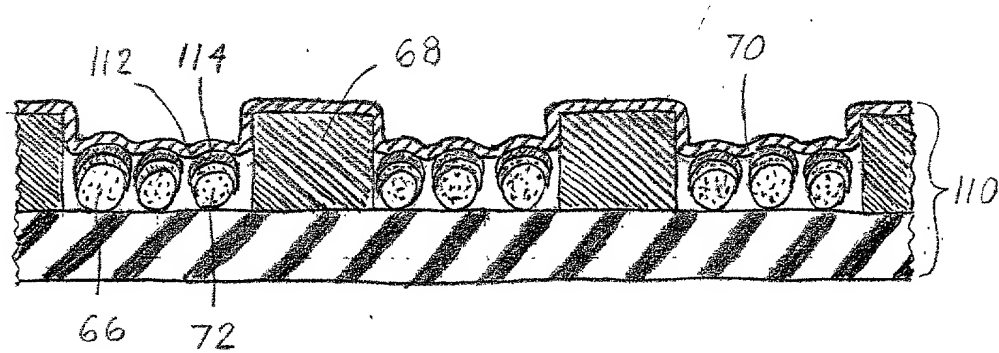


Fig. 13e



11/14

CT-F139

Fig. 14a

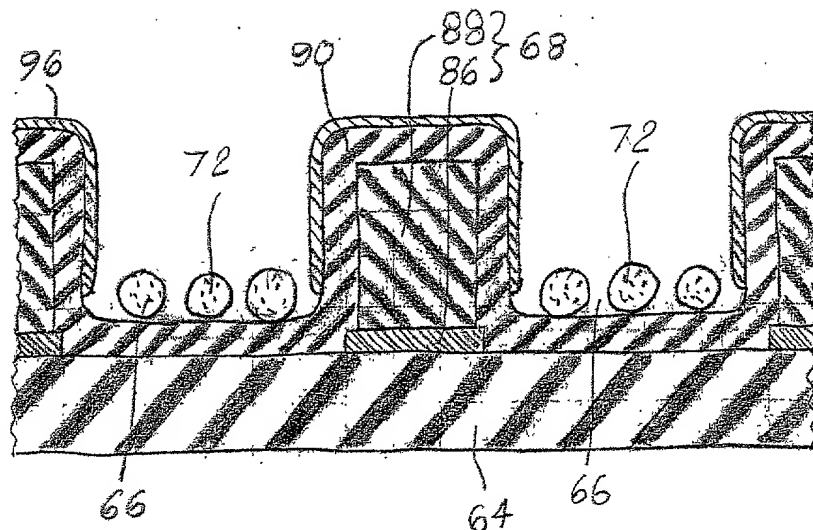


Fig. 14b

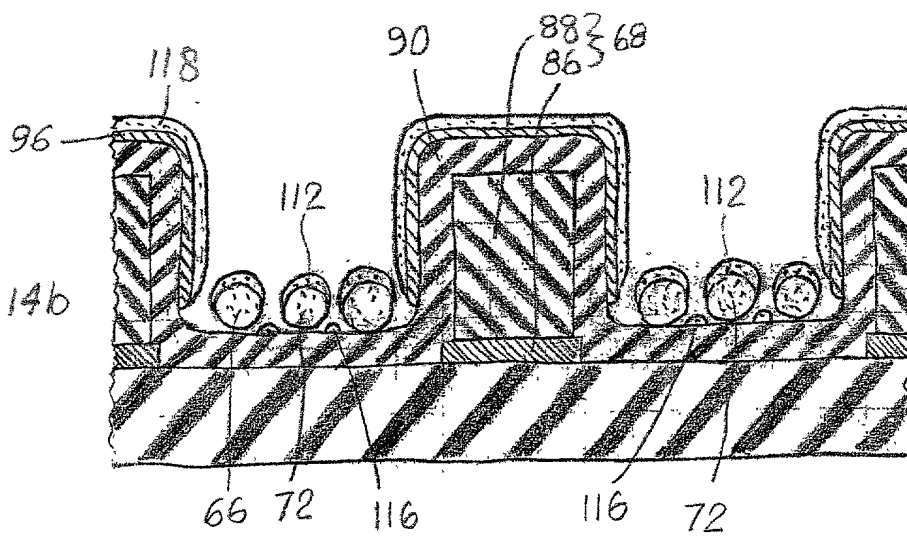
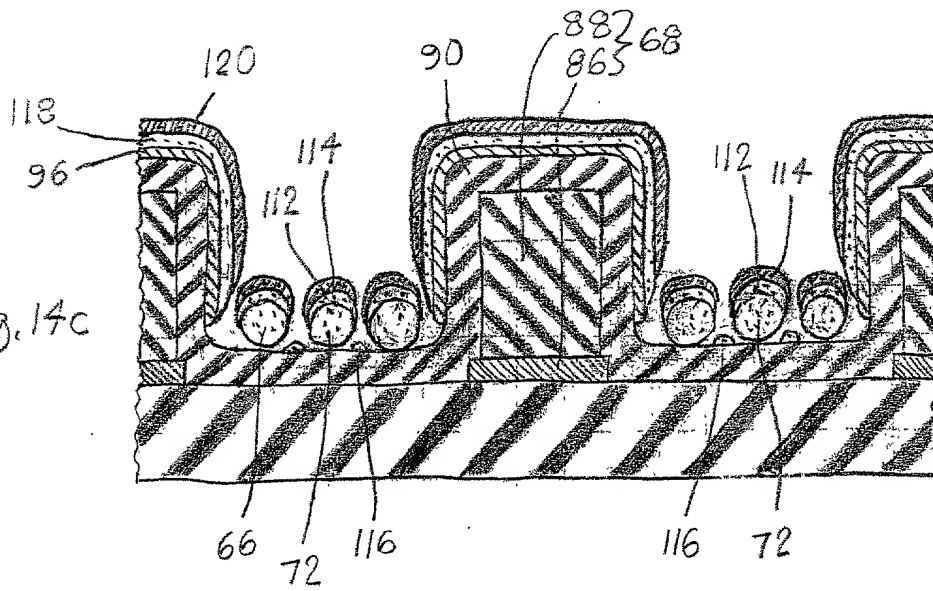
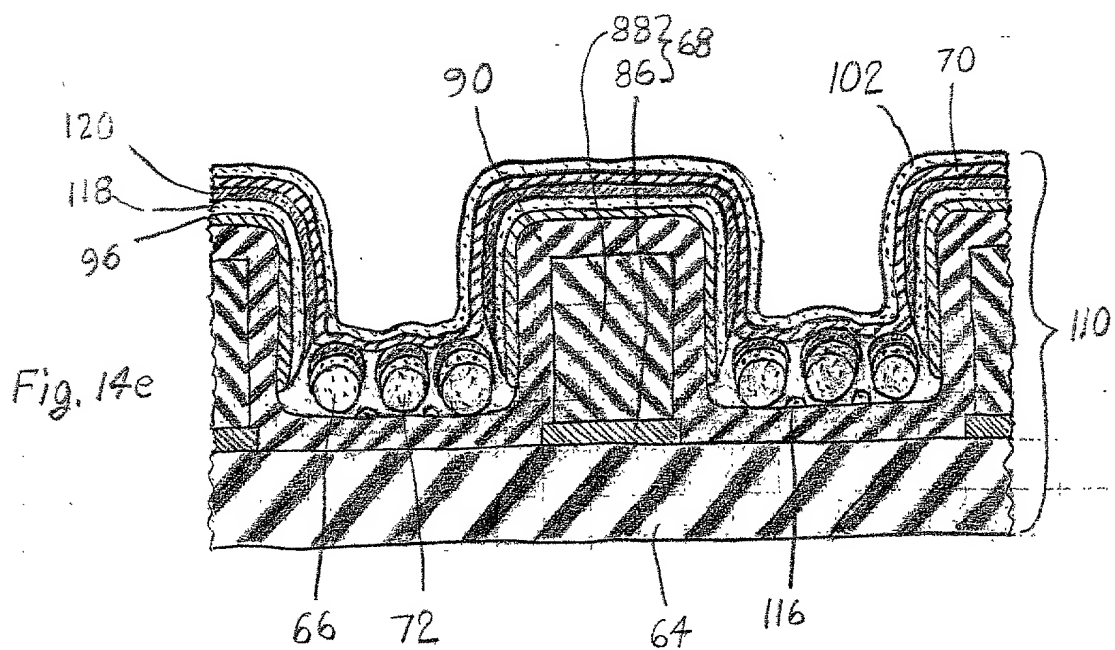
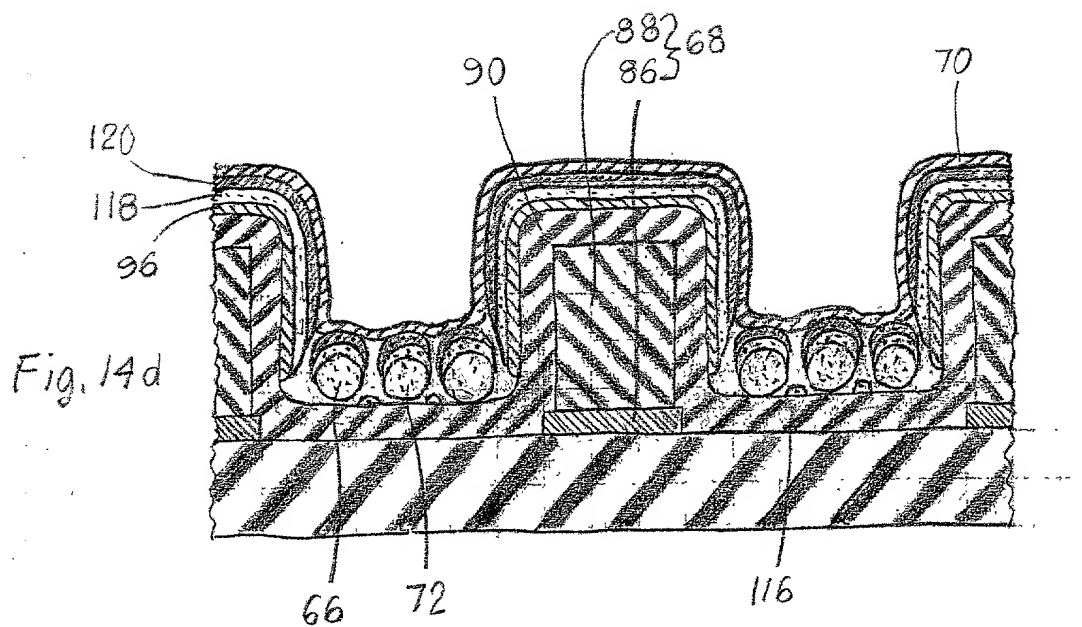
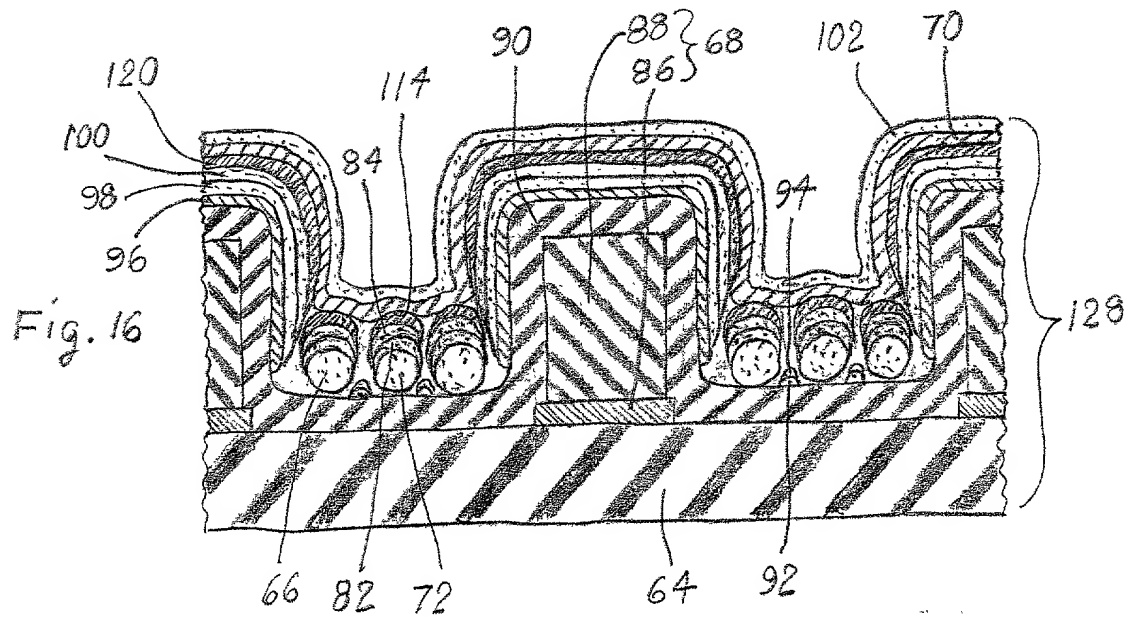
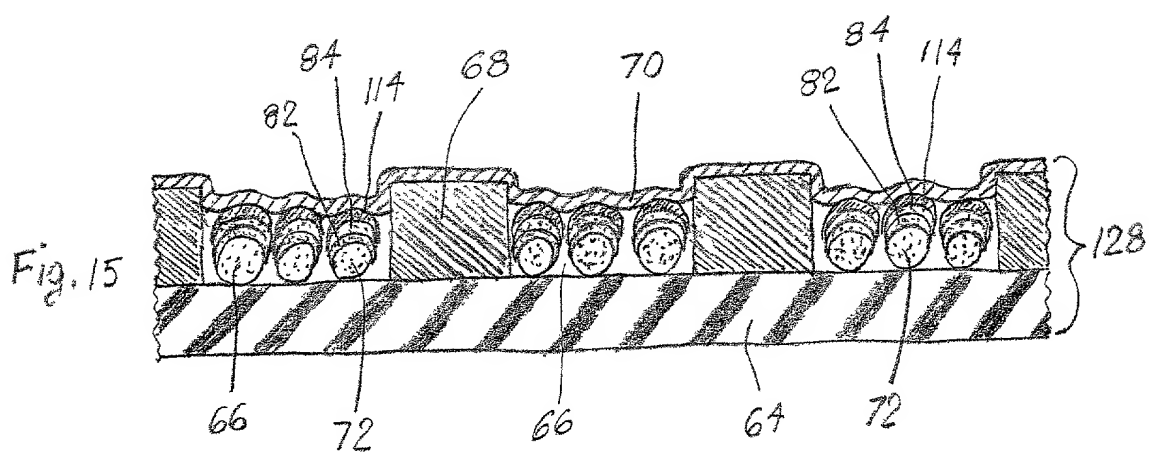


Fig. 14c







14/14

CT-F139.

Fig. 17

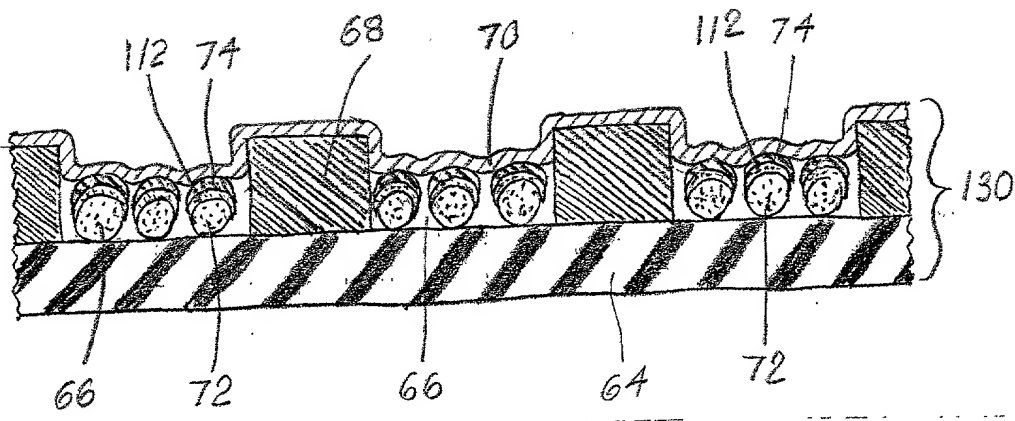


Fig. 18

